

**ЖУРНАЛ  
ЭКСПЕРИМЕНТАЛЬНОЙ  
И ТЕОРЕТИЧЕСКОЙ ФИЗИКИ**

ОСНОВАН В МАРТЕ 1873 ГОДА  
ВЫХОДИТ 12 РАЗ В ГОД  
МОСКВА

ТОМ 116, ВЫПУСК 2(8)  
АВГУСТ, 1999  
«НАУКА»

**ДИНАМИКА ОБРАЗОВАНИЯ ГОРИЗОНТА СОБЫТИЙ**

© 1999

*А. А. Шацкий\**

*Московский государственный университет им. М. В. Ломоносова  
119899, Москва, Россия*

*А. Ю. Андреев*

*Физический институт им. П. Н. Лебедева Российской академии наук  
117924, Москва, Россия*

Поступила в редакцию 17 ноября 1998 г.

Исследовано радиальное движение вещества в центрально-симметричном гравитационном поле в сопутствующей системе отсчета для реалистичного уравнения состояния вещества. Исследована динамика образования горизонта событий.

PACS: 04.20.-q; 04.40.-b; 04.70.-s

Проблема образования горизонта событий черных дыр уже давно привлекает к себе большое внимание физиков. На эту тему написано огромное количество работ (см., например, [1–4]), но тем не менее при рассмотрении этой проблемы в рамках общей теории относительности (ОТО) больше вопросов, чем известных решений.

Одним из главных вопросов этой проблемы по-прежнему остается вопрос об обратном влиянии аккрецирующего вещества на черную дыру. До сих пор в основном рассматривалось движение пробных частиц в поле черной дыры, а они, как известно, не оказывают обратного влияния, которое может оказаться огромным при достижении падающей частицей скорости света в момент прохождения ею горизонта событий.

\*E-mail: aas@srdlan.npi.msu.su

© Российская академия наук, Отделение общей физики и астрономии,  
Институт физических проблем им. П. Л. Капицы, 1999 г.

1. В этой работе мы рассмотрим частный, но физически реальный случай сферически-симметричной акреции на центральное тело без учета вращения. Приняты следующие обозначения: скорость света  $c$  и гравитационная постоянная  $G$  положены равными единице. Гравитационным радиусом для данной массы  $M$  в этих единицах назовем радиус  $r_g = 2M$ , т.е. радиус горизонта событий в вакууме для этой массы, сосредоточенной в центре.

Построим вероятную модель эволюции системы. Предположим, что наша система представляет собой остывающую массивную звезду радиусом  $R_0$  и гравитационным радиусом  $R_{G_0} = 2M(R_0)$ , причем  $R_{G_0} < R_0$ . Вещество этого тела в начальный момент покоится («пыль» с уравнением состояния  $P = \alpha \varepsilon$ , где  $P$  — давление в веществе,  $\varepsilon$  — плотность энергии,  $\alpha$  — константа). В следующий момент вещество начинает свободно<sup>1)</sup> падать. Если допустить, что в начальный момент гравитационные поля не слишком велики, а плотность пыли<sup>2)</sup> достаточно мала, то для ее удержания в начальный момент потребуется поле сил с конечной энергией. После выключения этого поля оно выйдет за пределы системы и перестанет с ней взаимодействовать за время порядка размера системы, т.е. за время много меньшее того, за которое пыль успеет частично осыпаться и гравитационные поля сильно вырасти. Таким образом, данная модель физически непротиворечива.

Что же произойдет с системой дальше? Пыль начнет падать к центру тела, увеличивая свою среднюю плотность и гравитационный радиус  $r_g(r)$  для массы  $M(r)$  под некоторым радиусом  $r$ . Если бы мы пренебрегли обратным влиянием давления движущегося вещества на динамику системы и на ее гравитационное поле, то при неизбежном падении всего вещества и выполнении в одной из точек  $r$  системы неравенства

$$r_g(r) = 2M(r) \geq r, \quad (1)$$

в этой точке, согласно решению Шварцшильда для гравитационного поля в пустоте, образовался бы горизонт событий, т.е. скорость падающего вещества относительно поверхностей  $r = \text{const}$  достигла бы скорости света (см. далее). Реально ли это на самом деле? Достижение веществом скорости света вызывает изменение знака интервала и поэтому является инвариантным событием, не зависящим от выбора системы отсчета.

Попытка решить эту задачу в системе отсчета, покоящейся на бесконечности, сразу же приводит к противоречию. Дело в том, что изучить аналитически точную, нестационарную модель из-за ее сложности в принципе не удастся. Если же сделать упрощение и предположить квазистационарность системы в некоторый момент времени в пределах от одного радиуса до некоторого, заведомо большего его радиуса, но все еще гораздо меньшего размеров системы, то можно, по крайней мере, сделать утверждение о наличии особенностей (нулей и полюсов) у компонент  $g_{tt}(r)$  и  $g_{rr}(r)$  метрики в этой системе отсчета<sup>3)</sup>. При выборе параметров системы такими, чтобы существовала область про-

<sup>1)</sup> На вещество действуют только силы гравитации и силы взаимодействия между пылинками — давление.

<sup>2)</sup> В данном случае слово «пыль» вовсе не означает отсутствия взаимодействия между пылинками, исключая случай  $\alpha = 0$ .

<sup>3)</sup> В системе отсчета, неподвижной на бесконечности, при наличии горизонта, как и у метрики Шварцшильда, при приближении к поверхности этого горизонта обязательно должны возникать особенности у компонент метрики.

странства, где неравенство (1) должно было бы заведомо выполняться, выясняется, что метрика не имеет особенностей независимо от выполнения неравенства (1).

Это можно показать, предполагая, что если особенность возникнет в некоторой точке  $r_0$ , то вблизи нее компонента метрики представима в виде

$$g_{ii}(r) \approx \text{const}(r - r_0)^{y_i},$$

где  $y_i$  — некоторое число. При подстановке такой метрики в уравнения выясняется, что они не имеют решения ни при каких значениях  $y_i \neq 0$ .

Казалось бы, это говорит об уничтожении особенностей, а значит, и горизонта быстро движущейся материей (правая часть уравнений Эйнштейна, равная нулю в вакууме, становится сингулярной при наличии ультрарелятивистского падающего вещества, когда радиальная компонента трехскорости стремится к единице, а радиальная и временная компоненты четырехскорости стремятся к бесконечности, это и является причиной устранения особенностей метрики).

Но в действительности все дело в неприменимости квазистационарного приближения в случае сильных гравитационных полей. Причина неприменимости заключается в том, что время на протяжении системы течет сильно неравномерно из-за неравномерности компоненты  $g_{tt}(r)$  метрики. Это приводит к тому, что картина, кажущаяся стационарной вдали от центра, становится сильно нестационарной для наблюдателя, приблизившегося к центру симметрии системы.

Тем не менее это не снимает поставленного вопроса — возникнут ли горизонт и черная дыра в реальном нестационарном случае?

2. Найти ответ на поставленный вопрос возможно при выборе сопутствующей системы отсчета. В этой системе задача была решена в [1, §103] в частном случае  $\alpha = 0$  (см. далее). Вещество в выбранной системе отсчета покоится, и о его движении можно судить лишь по изменению «окружных» или фотометрических расстояний  $r$ , которые связаны с центром системы и определяются как длины окружностей вокруг центра:  $2\pi r$ . При таком определении радиуса  $r$  метрику удобно представить в виде

$$ds^2 = e^\nu dt^2 - e^\lambda dR^2 - r^2(d\theta^2 + \sin^2\theta d\varphi^2). \quad (2)$$

Здесь  $R$  — координата пылинки в сопутствующей системе отсчета или ее индекс,  $e^\nu, e^\lambda, r$  являются при этом функциями  $R$  и времени  $t$ . Следует отметить, что при нулевом давлении, т. е. когда  $\alpha = 0$ , имеем  $\nu = 0$ , т. е. система отсчета является одновременно и синхронной.

Для решения поставленной задачи выпишем уравнения Эйнштейна в сопутствующей системе отсчета:

$$r'^2 e^{-\lambda} (1 + r\nu'/r') - e^{-\nu} (2r\ddot{r} + \dot{r}^2 - r\dot{r}\dot{\nu}) = 1 + 8\pi\alpha r^2 \varepsilon, \quad (3a)$$

$$2\mu' + \mu\mu' - \lambda\mu' - \nu'\mu = 0, \quad (3b)$$

$$\left( \lambda + 2\mu + \frac{2}{1+\alpha} \ln \varepsilon \right) = 0, \quad (3b)$$

$$\left( \nu + \frac{2\alpha}{1+\alpha} \ln \varepsilon \right)' = 0. \quad (3g)$$

Здесь  $\mu = 2 \ln r$ , штрих означает дифференцирование по  $R$ , а точка — по  $t$ . Уравнения (3) были получены в [1] (уравнения (2), (5), (6) задачи 5 к §100).

Из (3г) следует, что

$$\nu = -\frac{2\alpha}{1+\alpha} \ln \varepsilon + f^*(t),$$

при этом переобозначением времени  $t$  в элементе интервала (2) функцию  $f^*(t)$  можно положить равной  $[2\alpha/(1+\alpha)] \ln \varepsilon_*$ , где  $\varepsilon_*$  — константа с размерностью плотности энергии, выражающая масштаб измерения  $\varepsilon$ . Тогда

$$\nu = -\frac{2\alpha}{1+\alpha} \ln \frac{\varepsilon}{\varepsilon_*}. \tag{4}$$

Далее присвоим индексы  $R$  пылинкам таким образом, что  $r = R$  в начальный момент. При таких начальных условиях функции  $r'(R, t)$  соответствует величина  $(n_0/n)^{1/3}$ , где  $n(R, t)$  — концентрация частиц пыли,  $n_0$  — ее значение в начальный момент.

Выясним теперь условия, которые должны быть наложены на начальное распределение пыли. Самое главное из них заключается в том, что внутри вещества в начальный момент не должно выполняться неравенство (1). Это означает, что в начальный момент во всем пространстве горизонт отсутствует. Это накладывает верхний предел на начальную плотность пыли и на начальные размеры системы. А именно, если положить начальное распределение плотности пыли равным  $\varepsilon_0(R)$ , то максимальный радиус тела  $R_{max}$ , согласно (1), однозначно определится выражением

$$R_{max} = 2 \int_0^{R_{max}} 4\pi \varepsilon_0(R) R^2 dR. \tag{5}$$

Тогда из (3в) и (4) следует, что

$$\frac{\partial}{\partial t} [\alpha(\lambda + 2\mu) - \nu] = 0$$

или

$$\nu = \alpha[\lambda + 2\mu + f^*(R)], \tag{6}$$

где  $f^*(R)$  — произвольная функция, зависящая от начальных условий.

3. Найдем теперь начальные значения для всех переменных в нашей задаче. Для  $r$  и  $\varepsilon$  эти значения уже были нами заданы. Из (4) следует, что

$$\nu_0 = -\frac{2\alpha}{1+\alpha} \ln \frac{\varepsilon_0}{\varepsilon_*}. \tag{7}$$

Для нахождения начального значения  $\lambda$  воспользуемся тем фактом, что для  $\alpha = 0$  задача была уже решена, и поэтому можно воспользоваться известным выражением для  $\lambda_0|_{\alpha=0}$  из [1, § 103.6]:

$$\lambda_0(R) = -\ln[1 - S(R)], \tag{8}$$

где для  $\alpha = 0$

$$S(R) = 2M(R)/R, \tag{9}$$

$M(R)$  — масса под радиусом  $R$  в начальный момент.

Для произвольного  $\alpha$  выражение для  $S(R)$  такое же. Это можно получить из уравнения (4) к задаче 5, §100 в [1], где найдены уравнения Эйнштейна в сопутствующей системе отсчета в веществе для центрально-симметричной системы. Выпишем это уравнение:

$$-e^{-\lambda} \left[ \mu'' + \frac{3}{4} \mu'^2 - \frac{\mu' \lambda'}{2} \right] + \frac{1}{r^2} + \frac{1}{2e^\nu} \left[ \dot{\lambda} \mu + (\dot{\mu})^2 / 2 \right] = 8\pi \varepsilon. \quad (10)$$

Выражая  $\mu$  через  $r$  ( $\mu = \ln r^2$ ) и приводя подобные слагаемые, мы можем преобразовать это выражение к виду

$$8\pi r' \varepsilon r^2 = -[r(r'^2 e^{-\lambda} - 1)]' + \frac{r'}{e^\nu} \left[ \dot{\lambda} r \dot{r} + (\dot{r})^2 \right]. \quad (11)$$

Учитывая выражение (8), а также то, что согласно выражению (100.23) из [1] имеет место равенство

$$2M(r) = \int_0^r 8\pi \varepsilon(\bar{r}, t) \bar{r}^2 d\bar{r} \Big|_{t=\text{const}},$$

для начального момента времени, когда  $\dot{r} = 0$  и  $r' = 1$ , получим для  $S(R)$  выражение (9), предварительно проинтегрировав (11) по  $R$  от 0 до  $R$ .

Подставляя выражение (8) в (6) и учитывая (7), найдем, что

$$f^*(R) = -\frac{2}{1+\alpha} \ln \frac{\varepsilon_0}{\varepsilon_*} + \ln [1 - S(R)] - \ln R^4. \quad (12)$$

4. Теперь, подставив выражение (6) в (36) и поделив все на  $\dot{\mu} \mu'$ , получим уравнение

$$\frac{1}{\dot{r}} (2 \ln \mu' + \mu - \lambda) \cdot \frac{\nu'}{r'} = \alpha \frac{[\lambda + 2\mu + f^*(R)]'}{r'}. \quad (13)$$

Учитывая, что  $e^{-\nu} (2r\ddot{r} + \dot{r}^2 - r\dot{r}\dot{\nu}) = (e^{-\nu} r\dot{r}^2) / \dot{r}$ , и обозначая

$$U(R, t) = (\dot{r})^2, \quad Q(R, t) = r'^2 e^{-\lambda}, \quad (14)$$

мы видим, что уравнение (3а) можно записать как уравнение для  $U$ :

$$\frac{\dot{U}}{\dot{r}} + aU = \sigma, \quad (15)$$

где

$$a(R, t) = \frac{1}{r} \left( 1 - \frac{r\dot{\nu}}{\dot{r}} \right), \quad \sigma(R, t) = \frac{1}{r} \left[ Q \left( 1 + \frac{r\nu'}{r'} \right) - 1 - 8\pi \alpha r^2 \varepsilon \right] e^\nu.$$

Это уравнение имеет решение, удовлетворяющее начальным условиям:

$$U(R, t) = \frac{1}{\gamma^*(R, t)} \int_0^t \gamma^*(R, \bar{t}) \sigma(R, \bar{t}) \dot{r} d\bar{t}, \quad \gamma^*(R, t) = \exp \left[ \int_0^t a(R, \bar{t}) \dot{r} d\bar{t} \right]. \quad (16)$$

Найдя  $U$ , выражение для квадрата скорости вещества относительно поверхностей  $r = \text{const}$  можно получить из вида метрики (2) (см. Приложение 1):

$$V^2(R, t) = U e^{-\nu} e^{\lambda} / r'^2. \tag{17}$$

Выражение для  $\gamma^*$  может быть легко найдено:

$$\gamma^*(R, t) = C(R) r e^{-\nu},$$

где множитель  $C(R)$  для  $\gamma^*(R, t)$ , не зависящий от  $t$ , можно вынести за знак интеграла в выражении (16) и сократить, поэтому его можно положить равным единице. Тогда

$$\gamma^* \sigma = r'^2 e^{-\lambda} \left( 1 + \frac{r \nu'}{r'} \right) - 1 - 8\pi \alpha r^2 \epsilon.$$

Или, учитывая то, что выражение (13) можно теперь переписать как

$$\frac{(2 \ln \mu' + \mu - \lambda) \cdot}{\dot{r}} = \frac{(\ln Q) \cdot}{\dot{r}} = \frac{\nu'}{r'}, \tag{18}$$

получим

$$\gamma^* \sigma = \frac{(r(Q - 1)) \cdot}{\dot{r}} - 8\pi \alpha r^2 \epsilon. \tag{19}$$

Тогда (16) переписется в виде

$$U = \frac{e^\nu}{r} [r(Q - 1) - R(Q_0 - 1) + 2\alpha m(R, t)], \tag{20}$$

где обозначено:

$$m(R, t) = \int_t^0 4\pi \tilde{e} \tilde{r}^2 \dot{\tilde{r}} d\tilde{t} = \int_r^R 4\pi \tilde{e} \tilde{r}^2 d\tilde{r} |_{R=\text{const}}. \tag{21}$$

5. Для случая  $\alpha = 0$ , учитывая (6), (9), (18) и (20), можем без труда получить аналитически точное выражение для  $U$  и  $V$ :

$$U_{\alpha=0} = S(R) \left( \frac{R}{r} - 1 \right) = \frac{2M(R)}{r} - S(R). \tag{22}$$

Подставив это выражение в (17), получим для скорости

$$V_{\alpha=0}^2 = \frac{2M(R)/r - S(R)}{1 - S(R)}. \tag{23}$$

Отсюда  $V_{\alpha=0} = 1$ , когда  $r = r_g = 2M(R)$ , что совпадает с результатами §100 в [1], где для этого случая задача была уже решена.

6. И наконец, рассмотрим вопрос о местоположении горизонта<sup>4)</sup> при наличии ненулевого давления. Для этого подставим в формулу (17) выражения (20) и (8) для  $e^{-\lambda_0}$ . В итоге после несложных преобразований получим

<sup>4)</sup> Здесь идет речь о так называемом горизонте видимости (apparent horizon), или, как еще его называют, ловушечной поверхности, определение которой дано в работах [5, 6]. Что же касается горизонта событий (event horizon), то после падения всего вещества, как это будет видно далее, он совпадает с горизонтом видимости (подробнее об этом см. Приложение 1).

$$r = \frac{2M(R) + 2\alpha m(R, t)}{1 - Q(1 - V^2)}. \quad (24)$$

Как будет доказано в Приложении 1, горизонт появляется в той точке и в тот момент, когда скорость падающего вещества относительно поверхностей  $r = \text{const}$  достигает единицы, т. е. там, где  $V = 1$ . При этом скорость света относительно падающего вещества в этом месте тоже, как всегда, равна единице.

Отсюда радиус горизонта  $r_{hor}$ , согласно (24) и (9), определяется формулой

$$r_{hor} = 2M(R) + 2\alpha m(R, t_{hor}). \quad (25)$$

Таким образом, горизонт смещается в большую сторону по сравнению с его значением в вакууме  $r_{0hor} = 2M(R)$  на величину  $2\alpha m(R, t_{hor})$ . При этом величина  $m(R, t)$  имеет смысл массы, которая накопилась бы, если бы мы состыковывали друг с другом слои пыли с начальным радиусом  $R$  и толщиной  $d\tilde{r}(\tilde{t})$  вплоть до радиуса  $r(R, t)$  в момент пролета этого слоя  $d\tilde{r}$  через точку состыковки.

7. По поводу возможных значений  $\alpha$  отметим, что значение  $\alpha = 0$  соответствует пылевидной материи без взаимодействия между пылинками, при этом результаты получаются такими же (см. (23)), как для пробных частиц в центральном поле массы  $M$  (см. [1, § 101]). Но, конечно же, такое уравнение состояния вещества вблизи горизонта не может соответствовать действительности. Разумно полагать, что вблизи горизонта действует ультрарелятивистское уравнение состояния вещества, при котором  $\alpha = 1/3$ . Поэтому, видимо, именно при таком  $\alpha$  и нужно искать местоположение горизонта.

8. Казалось бы, что под воздействием градиента давления при  $\alpha \neq 0$  падающее вещество должно замедляться, и поэтому горизонт должен образоваться позднее, т. е. сместиться в сторону меньших  $r$ , но, как мы только что показали, он смещается в сторону больших  $r$  на величину  $2\alpha m(R, t_{hor})$ . В чем же причина этого противоречия? Из начальных уравнений (3) видно, что причину следует искать в уравнении (3а). Для этого рассмотрим уравнения (3а) и (4) в начальный момент для случая  $\alpha \ll 1$ . В этот момент  $\dot{r} = 0$ ,  $r' = 1$ , поэтому запишем

$$[1 - S(R)] \left( 1 - 2\alpha r \frac{\epsilon'}{\epsilon} \right) - 2r\ddot{r} \left( \frac{\epsilon}{\epsilon_*} \right)^{2\alpha} \approx 1 + 8\pi\alpha r^2 \epsilon.$$

Так как

$$(\epsilon/\epsilon_*)^{2\alpha} \approx 1 + 2\alpha \ln \frac{\epsilon}{\epsilon_*}, \quad S(R) = \frac{2M(R)}{R}, \quad r = R,$$

то, проведя несложные преобразования, в линейном по  $\alpha$  приближении получим

$$\ddot{r} = -\frac{GM(R)}{r^2} \left[ 1 - 2\alpha \ln \frac{\epsilon}{\epsilon_*} \right] - \frac{\nabla P}{\rho} \left[ 1 - \frac{2GM(r)}{rc^2} \right] - 4\pi\alpha G r \rho, \quad (26)$$

где  $\rho(R, r) = \epsilon(R, r)/c^2$  — плотность вещества. Здесь для наглядности мы используем обычную (гауссову) систему единиц с  $G \neq 1$  и  $c \neq 1$ . Из (26) видно, что первый член отвечает обычной ньютоновской силе тяготения, второй — силе взаимодействия между частицами — градиенту давления (именно эта сила на первом этапе является причиной замедления скорости падения вещества). Остальные члены не входят в уравнения движения в ньютоновском приближении (поправками в квадратных скобках при этом тоже

пренебрегают), но, как мы уже видели, последний член при высоких энергиях начинает доминировать по сравнению со вторым членом, поэтому и возникает эффект смещения горизонта в большую сторону. Таким образом, противоречие снимается. Физически это соответствует «тяготению давления» в ОТО, которое при больших энергиях превосходит градиентные члены.

9. Проведенный анализ позволяет сделать следующие выводы.

Во-первых, благодаря «тяготению давления», обнаружен эффект смещения горизонта в большую сторону по сравнению с его шварцшильдовским значением. Подчеркнем, что этот эффект чисто динамический и в статическом случае (когда все вещество упало) отсутствует.

Во-вторых, согласно результатам Приложения 2, эволюция всей системы при постоянном  $\alpha$  полностью определяется профилем распределения плотности энергии в начальный момент, т. е., например, нормированным распределением плотности вещества и значением параметра  $S$  в произвольной точке этого распределения.

Если же необходимо описать эволюцию только одного сферического слоя вещества с индексом  $R$ , то она полностью определяется тремя безразмерными параметрами в начальный момент на этом слое и в этом смысле не зависит от начального распределения вещества системы под и над этим слоем. Но это вовсе не означает независимости сферических слоев в общем случае, так как именно эти три параметра, как будет видно из Приложения 2, и отвечают за взаимодействие слоев. Вследствие этого интегрирование системы приводит к целому семейству самоподобных решений.

В-третьих, согласно Приложению 2, при определенном выборе начальных параметров появляется локальный экстремум у кривой  $V(R)|_{t=\text{const}}$ , что приводит при  $V = 1$  к образованию второй ловушечной поверхности (apparent horizon) в системе (аналог второго горизонта в решениях Рейснера—Нордстрема и Керра—Ньюмана для электрически заряженной, вращающейся, статической черной дыры; интерпретацию этих решений см., например, в [5, 6]).

## ПРИЛОЖЕНИЕ 1

До сих пор, говоря о горизонте, мы подразумевали ловушечную поверхность, или горизонт видимости (apparent horizon), как его называют в литературе.

Поясним более подробно на примере, в чем отличие горизонта событий (event horizon) от горизонта видимости. Допустим, у нас уже есть стационарная черная дыра массы  $M$ , тогда на радиусе  $r = 2M$  существует горизонт видимости. Теперь предположим, что в нашу черную дыру падает еще кусок вещества с массой  $\delta M$ . После его падения радиус горизонта видимости увеличится до  $2(M + \delta M)$ . Таким образом, если какой-либо наблюдатель до падения куска находился между этими радиусами, то он был вне черной дыры, но уже после падения куска он оказался внутри ее. Понятие горизонта событий является глобальным понятием и определяется всей эволюцией черной дыры или, другими словами, всей массой, которая когда-либо упадет в нее.

При этом для существования черной дыры достаточно уже существования горизонта видимости, который определяет черную дыру локально. При этом, как следует из наших рассуждений, в сферически-симметричном случае эти два горизонта в конце концов совпадают, образуя статическую черную дыру, описываемую решением Шварцшильда. Поэтому далее, говоря о горизонте, мы подразумеваем горизонт видимости.

Докажем, что горизонт в системе со сферической симметрией образуется в момент достижения падающей частицей с ненулевой массой покоя скорости света относительно



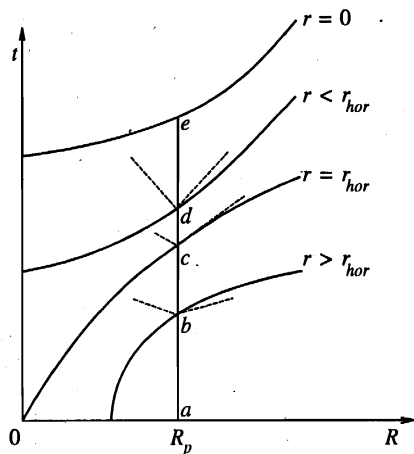


Рис. 1

поверхностей  $r = \text{const}$  в той же самой точке. Для этого запишем закон движения для этой частицы в виде

$$r(R, t) = R - \int_0^t \sqrt{U(R, \tilde{t})} d\tilde{t}. \tag{27}$$

Предположим теперь, что мы с большого радиуса  $r_\infty(t)$ , находясь на пылинке с индексом  $R_\infty$ , следим за пылинкой с индексом  $R_p$ , которая посылает нам луч света, пролетая через радиусы  $r_p(R_p, t)$ . Критерием того, что пылинка еще не достигла горизонта, является то обстоятельство, что мы все еще видим свет от нее, т. е. свет, распространяясь, еще пересекает радиусы  $r > r_p$ . Следовательно, критерием достижения пылинкой горизонта является событие, при котором свет, распространяясь от  $R_p$ , уже не может пересекать радиусы  $r > r_p$ . Выразим этот критерий математически.

На рис. 1 прямой вертикальной линией  $abcde$  обозначена мировая линия пылинки  $R_p$  в координатах  $R$  и  $t$  сопутствующей системы отсчета от момента покоя ( $a$ ) до центра системы ( $e$ ) с  $r = 0$ . При этом кривые сплошные линии, проходящие через точки  $e$ ,  $d$ ,  $c$  и  $b$  обозначают соответственно линии постоянных значений  $r(R, t)$  при  $r = 0$ ,  $r < r_{hor}$ ,  $r = r_{hor}$  и  $r > r_{hor}$ . Штриховыми линиями, выходящими из этих точек обозначены конусы, внутри которых может распространяться свет, излученный пылинкой  $R_p$  (вне этих конусов свет распространяться не может). Поэтому, согласно указанному выше критерию, горизонт образуется в той точке, где конус касается линии  $r = \text{const}$ , на рисунке эта линия обозначена как  $r = r_{hor}$ , она проходит через точку  $c$ . Для наглядности на рис. 1 показано, что в точке  $b$  световой конус пересекает линии с  $r > r_p$ , следовательно, в этой точке еще нет горизонта. На этом рисунке также показано, что в точке  $d$  световой конус целиком расположен над кривой  $r = \text{const}$ , проходящей через точку  $d$ , следовательно, этот световой конус пересекает только линии с  $r < r_p$ , поэтому точка  $d$  находится уже под горизонтом.

Рассмотрим выражение (27) на одной из кривых  $r = \text{const}$  и возьмем на этой кривой

его полный дифференциал:

$$0 = dR - \sqrt{U}dt - \frac{1}{2} \int_0^t \frac{U'(R, \bar{t})}{\sqrt{U(R, \bar{t})}} dRd\bar{t},$$

или

$$\sqrt{U} \frac{dt}{dR} \Big|_{r=\text{const}} = 1 - \frac{1}{2} \int_0^t \frac{U'(R, \bar{t})}{\sqrt{U(R, \bar{t})}} d\bar{t}. \tag{28}$$

Далее, дифференцируя (27) по  $R$ , получаем выражение для  $r'$ :

$$r' = 1 - \frac{1}{2} \int_0^t \frac{U'}{\sqrt{U}} d\bar{t},$$

с учетом чего из (28) находим

$$\frac{dt}{dR} \Big|_{r=\text{const}} = \frac{r'}{\sqrt{U}}. \tag{29}$$

Таким образом, мы выразили тангенс угла наклона кривой  $r = \text{const}$  к оси  $R$ .

Для нахождения тангенса угла наклона светового конуса, по определению, для света имеем  $ds^2 = 0$ , отсюда из (2) следует

$$\frac{dt}{dR} \Big|_{light} = \sqrt{e^{\lambda-\nu}}. \tag{30}$$

Согласно сказанному выше, критерием отсутствия горизонта будет условие

$$\frac{dt}{dR} \Big|_{light} < \frac{dt}{dR} \Big|_{r=\text{const}}. \tag{31}$$

Подставляя сюда выражения (29) и (30) и учитывая выражение (17), получим этот критерий в виде

$$|V| = \frac{\sqrt{Ue^{\lambda-\nu}}}{r'} < 1. \tag{32}$$

Здесь скорость движения вещества относительно линий  $r = \text{const}$  согласно (29) имеет вид

$$|V| = \frac{dl}{d\tau} \Big|_{r=\text{const}} = \sqrt{e^{\lambda-\nu}} \frac{dR}{dt} \Big|_{r=\text{const}}$$

Таким образом, утверждение, что горизонт образуется в момент достижения веществом скорости  $V = 1$  относительно поверхностей  $r = \text{const}$  доказано. При этом поверхность горизонта разделяет области, в которых  $r$  является пространственно-подобной и времениподобной.

## ПРИЛОЖЕНИЕ 2

Для решения уравнений, описывающих коллапс, сначала приведем их к безразмерному виду. Для этого удобно ввести следующие обозначения:

$$x = r/R, \quad \gamma = \frac{\rho_0(R)}{\langle \rho \rangle} = \frac{8\pi\varepsilon_0(R)R^2}{3S(R)}.$$

В этом Приложении мы найдем области допустимых значений параметров  $\gamma$  и  $S$ , исследуем характер коллапса при этих параметрах и численно получим решения для функции  $V^2$ . Прежде всего нам понадобится знать зависимость  $r'(x)$ . Дифференцируя выражение (27), получим<sup>5)</sup>

$$r'(x) = 1 + \frac{1}{2}R \int_1^x [\ln U(R, \tilde{x})]' d\tilde{x}. \quad (33)$$

К сожалению, аналитически точное выражение для  $r'$  удастся найти только в случае  $\alpha = 0$ , и только при этом значении  $\alpha$  можно точно судить о характере коллапса. Но основные черты этого характера, как будет видно дальше, остаются теми же и в случае  $\alpha \neq 0$ . Поэтому сначала исследуем случай  $\alpha = 0$ .

Итак, найдем  $r'(R, x)$ . Согласно выражению (22) для  $U$ , получим

$$\ln[U(R, x)] = \ln[S(R)] + \ln\left(\frac{1}{x} - 1\right).$$

Обозначая  $y = r' - x$  и учитывая, что  $x' = y/R$ , имеем

$$(\ln U)' = \frac{S'}{S} - \frac{y}{Rx(1-x)}.$$

Подстановка этого выражения в (33) дает

$$y(x) + x - 1 = \frac{1}{2} \int_1^x \left[ \frac{RS'}{S} - \frac{y(\tilde{x})}{\tilde{x}(1-\tilde{x})} \right] d\tilde{x}. \quad (34)$$

Дифференцируя (34) по  $x$ , получаем

$$\frac{\partial y(x)}{\partial x} + a^*(x)y(x) = \sigma^*(R), \quad (35)$$

где обозначено

$$a^*(x) = \frac{1}{2x(1-x)}, \quad \sigma^*(R) = \frac{RS'}{2S} - 1 = -\frac{3}{2} + \frac{3}{2}\gamma.$$

Как видно, уравнение (35) совпадает по виду с уравнением (15), а начальные условия,  $y|_{t=0} = 0$ , такие же, поэтому метод его решения аналогичный. Решение имеет вид

<sup>5)</sup> Здесь и далее  $d\tilde{x} = (\dot{r} dt/R)|_{R=\text{const}}$ ,  $\partial/\partial x = (R/\dot{r})(\partial/\partial t)|_{R=\text{const}}$ .

$$y(x) = r' - x = \sigma^* \left[ \sqrt{\frac{1-x}{x}} \operatorname{arctg} \sqrt{\frac{1-x}{x}} - (1-x) \right]. \quad (36)$$

Найдем область значений  $r'$ . Во-первых, условие сжатия вещества имеет вид  $r' \leq 1$ . Во-вторых, условие непересечения<sup>6)</sup> слоев пыли с разными  $R$  имеет вид  $r' > 0$ . Итак,

$$0 < r' \leq 1. \quad (37)$$

Допустим, что кривая  $V^2(R)$  при  $t = t_m = \text{const}$  имеет локальный экстремум, и предположим (для определенности), что это максимум. Тогда горизонт зародится именно в точке локального максимума — точке  $R = R_{extr}$ . Найдем теперь условие для точки максимума. Во-первых, в этой точке должно быть  $V^2(R_{extr}, x) = V_{extr}^2$ . Во-вторых, поскольку это первая точка, в которой скорость вещества достигает значения  $V_{extr}$ , а скорость коллапса увеличивается со временем, в окрестности этой точки должно быть  $V^2 < V_{extr}^2$ , или

$$\begin{aligned} \frac{\partial V^2(R, t_m)}{\partial R} &> 0, & R < R_{extr}, \\ \frac{\partial V^2(R, t_m)}{\partial R} &< 0, & R > R_{extr}. \end{aligned} \quad (38)$$

Если же окажется, что выражение (38) выполняется с противоположными знаками неравенства, то это будет означать, что на кривой  $V^2(R)$  в точке  $R_{extr}$  в момент достижения в ней скорости  $V_{extr}$  имеется локальный минимум, т. е. в этой точке вещество достигнет скорости  $V_{extr}$  в последнюю очередь.

Условие экстремума запишется в виде

$$\frac{\partial V^2(R, x)}{\partial R} = 0,$$

где, согласно выражению (23),

$$V^2(R, x)|_{\alpha=0} = \frac{1 - 1/x}{1 - 1/S(R)}.$$

Дифференцируя это выражение по  $R$ , получаем

$$\left. \frac{\partial V^2}{\partial R} \right|_{t=t_m} = \frac{S/R}{1-S} \left[ -y + \frac{1-3\gamma}{1-S} \right], \quad (39)$$

где учтено, что  $x' = y/R$ ,  $S'/S = (3\gamma - 1)/R$ . Тогда с учетом того, что  $0 < x \leq 1$ ,  $0 < \gamma \leq 1$ ,  $-1 < y \leq 0$  и  $0 < S < 1$ , условия (38) перепишутся в виде

$$\begin{aligned} -y &> \frac{3\gamma - 1}{1 - S}, & R < R_{extr}, \\ -y &< \frac{3\gamma - 1}{1 - S}, & R > R_{extr}. \end{aligned} \quad (40)$$

<sup>6)</sup> Мы рассматриваем именно такой случай, поскольку пересечение слоев означало бы появление бесконечной плотности еще на радиусе  $r \neq 0$ , что запрещено принципом космической цензуры, см., например, [6].

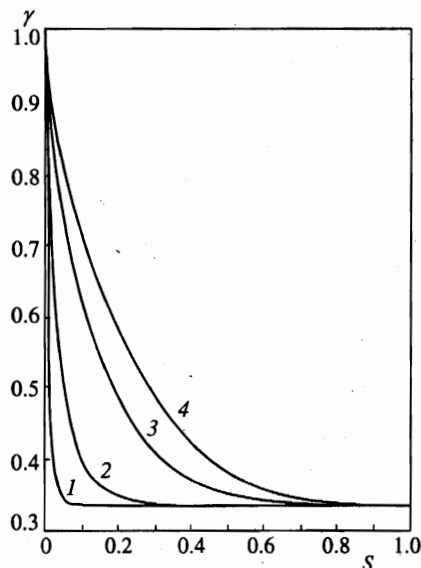


Рис. 2. Зависимости  $\gamma(S)$  для существования экстремума скорости при  $t = \text{const}$ ,  $\alpha = 0$  и  $V_{extr} = 0.1$  (кривая 1); 0.3 (2); 0.7 (3); 1.0 (4)

Если ввести обозначение  $z = \sqrt{(1-x)/x}$  и учесть, что, согласно формуле (23),  $z = V\sqrt{1/S-1}$ , то из (40) получим

$$\begin{aligned} \frac{3}{2}(1-\gamma) \left[ z \operatorname{arctg}(z) - \frac{z^2}{1+z^2} \right] - \frac{3\gamma-1}{1-S} > 0, \quad R < R_{extr}, \\ \frac{3}{2}(1-\gamma) \left[ z \operatorname{arctg}(z) - \frac{z^2}{1+z^2} \right] - \frac{3\gamma-1}{1-S} < 0, \quad R > R_{extr}, \end{aligned} \quad (41)$$

или для точки экстремума можно записать

$$(1-\gamma) \left[ z \operatorname{arctg}(z) - \frac{z^2}{1+z^2} + \frac{2}{1-S} \right] - \frac{4/3}{1-S} = 0.$$

По этой формуле можно построить кривую раздела  $\gamma(S, V_{extr})$  положительных и отрицательных значений производной  $(V^2)'$  и определить характер экстремума. Эти кривые для разных значений  $V_{extr}$  показаны на рис. 2. Выше и правее них находятся области  $V' > 0$ , а ниже и левее — области  $V' < 0$ .

Из рис. 2 видно, что могут существовать (при определенном выборе профиля распределения вещества в начальный момент и параметра  $S$  в некоторой точке  $R_*$ ) два значения  $R$ , при которых в некоторый момент времени скорость  $V = 1$ , и, следовательно, возможность появления второго горизонта в системе.

Появление второго горизонта в физике черных дыр не является новостью (см., например, решение Рейснера—Нордстрема или Керра—Ньюмана в [7]).

Результаты, полученные в этом Приложении, относятся к случаю отсутствия давления, хотя экспериментальный интерес представляет случай  $\alpha = 1/3$ . Поэтому мы с помощью формул (4), (6), (8), (9), (12), (17), (18), (20), (33) ввели новые безразмерные переменные ( $\hat{\nu} = \nu - \nu_0$ ,  $\hat{\lambda} = \lambda - \lambda_0$ ,  $\hat{U} = Ue^{-\nu_0}$ ,  $\hat{\varepsilon} = \varepsilon/\varepsilon_0$ ) и уравнения для них. При

этом начальные условия для них принимают вид

$$\hat{\nu}_0 = \hat{\lambda}_0 = \hat{U}_0 = 0, \quad r'_0 = \hat{\varepsilon}_0 = 1.$$

Обозначая новые координаты как  $x = r/R$ ,  $\xi = R/R_*$ ,  $R_* = \text{const}$  и вводя следующие параметры<sup>7)</sup>:

$$h = \xi \partial_\xi \nu_0, \quad h_{cr} = S \frac{1 + 3\alpha\gamma}{1 - S}, \quad \eta = h/h_{cr},$$

получаем уравнения для новых переменных в виде

$$\begin{aligned} e^{\hat{\nu}/\alpha} &= x^4 e^{\hat{\lambda}}, \\ \hat{\varepsilon} &= (e^{-\hat{\nu}/\alpha})^{(1+\alpha)/2}, \\ \ln(r'^2 e^{-\hat{\lambda}}) &= \int_1^x \left[ \xi \frac{\partial_\xi \hat{\nu}}{r'} + \frac{h}{r'} \right] d\bar{x}, \\ \hat{U} &= e^{\hat{\nu}} \left[ r'^2 e^{-\hat{\lambda}} (1 - S) - 1 + \frac{S}{x} - \alpha \frac{3\gamma S}{x} \int_1^x \hat{\varepsilon} \bar{x}^2 d\bar{x} \right], \\ r' &= 1 + \frac{1}{2} \int_1^x \xi \partial_\xi (\ln \hat{U}) d\bar{x} - \frac{h}{2} (1 - x). \end{aligned} \tag{42}$$

Скорость в новых переменных

$$V^2 = \frac{\hat{U} e^{\hat{\lambda} - \hat{\nu}}}{(r')^2 (1 - S)}.$$

Отсюда  $x_{hor} = S + 2\alpha \tilde{m}$ , где

$$\tilde{m} = \frac{m}{R} = \varepsilon_0 R^2 \int_x^1 4\pi \hat{\varepsilon} \bar{x}^2 d\bar{x}, \quad \varepsilon_0 R^2 = \frac{3\gamma S}{8\pi}. \tag{43}$$

Отметим, что эту формулу и формулу (36) можно использовать для нахождения поправки  $\delta r_{hor}$  в (25) к смещению горизонта в линейном по  $\alpha$  приближении, поскольку, согласно выражению (103.11) из [1] для  $\alpha = 0$ , имеем

$$8\pi \varepsilon r^2 = \frac{2M'}{r'} = \frac{8\pi \varepsilon_0 R^2}{r'},$$

или

$$\hat{\varepsilon} x^2 = 1/r'.$$

Это выражение можно подставить в (43) и получить квадратурное выражение для искомой поправки.

<sup>7)</sup> Смысл параметра  $h_{cr}$  состоит в том, что, согласно (3а),  $\ddot{r} = 0$ , когда  $h = h_{cr}$  в начальный момент, т. е. система находится в неустойчивом равновесии; здесь и далее  $\partial_\xi = \partial/\partial\xi$ .

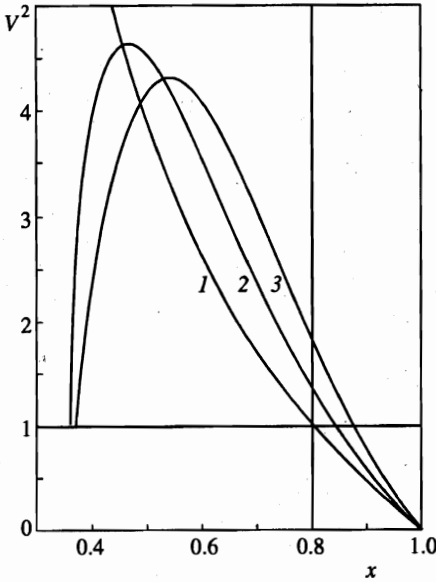


Рис. 3

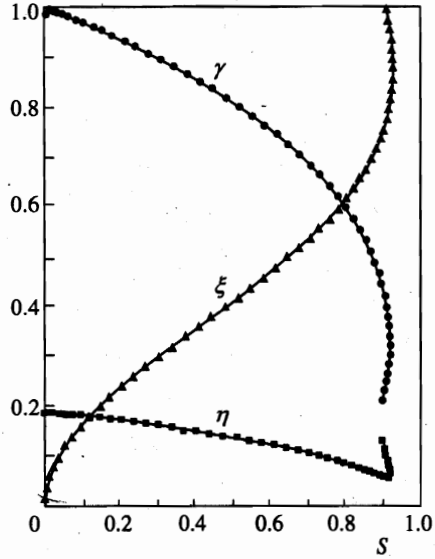


Рис. 4

Рис. 3. Зависимости  $V^2(x)$  при начальных условиях  $S = 0.8$ ,  $\gamma = 0.6$ ,  $\eta = 0.1$  и  $\alpha = 0$  (кривая 1); 0.15 (2); 0.33 (3). Вертикальная прямая соответствует местоположению горизонта видимости при  $\alpha = 0$

Рис. 4. Зависимости параметров  $\gamma(S)$ ,  $\eta(S)$  и  $\xi(S)$  при  $\varepsilon(\xi)/\varepsilon(0) = \exp(-3\xi^2)$

Кроме того, мы численно, по разностной схеме, проинтегрировали уравнения для случая  $\alpha \neq 0$ , и результаты для разных значений  $\alpha$  представлены на рис. 3. Как это и должно быть, согласно выражению (25), кривые для  $V^2(x)$  смещаются вверх и вправо при увеличении от  $\alpha = 0$  до  $\alpha = 1/3$ .

Численные расчеты подтверждают то, что аналитические результаты этого Приложения остаются справедливыми и при реальном уравнении состояния вещества:  $P = \alpha\varepsilon$ . На рис. 4 построены зависимости параметров  $\gamma(S)$ ,  $\xi(S)$  и  $\eta(S)$  для частного случая распределения плотности по Гауссу:  $\varepsilon_0(\xi)/\varepsilon_0(0) = \exp(-3\xi^2)$ . Сопоставляя этот рисунок с рис. 2, можно видеть, что кривая  $\gamma(S)$  на рис. 4 пересекает кривые  $\gamma(S)$  на рис. 2 сверху вниз примерно в точке  $S \approx 0.92$ , если идти от  $\xi = 0$  до  $\xi = 1$ . Как видно на рис. 4, точке  $S \approx 0.92$  соответствуют точки  $\xi \approx 0.85$  и  $\eta \approx 0.1$ , поэтому, так как выше и правее кривых на рис. 2 находится область  $V' > 0$ , а ниже и левее — область  $V' < 0$ , точка  $\xi \approx 0.85$  должна являться точкой локального максимума кривой  $V(\xi)$  при постоянном  $t$ .

Этот аналитический результат подтверждается численным расчетом кривых  $V(\xi)|_{t=\text{const}}$ , результаты которого и предсказанные максимумы показаны на рис. 5.

В заключение этого Приложения скажем несколько слов по поводу начальных характеристик и распределения вещества.

При приведении уравнений модели к безразмерному виду оказывается, что решение

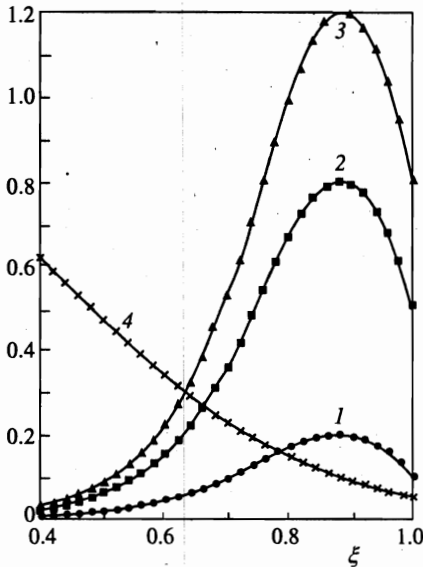


Рис. 5. Зависимости  $V^2(\xi)$  при  $t = \text{const}$  и различных начальных значениях скорости  $V^2$  (кривые 1-3), а также зависимость  $\varepsilon(\xi)/\varepsilon(0) = \exp(-3\xi^2)$  — кривая 4

для сферического слоя вещества с индексом  $R$  полностью определяется тремя безразмерными параметрами в начальный момент на этом слое:  $0 < S < 1$ ,  $0 < \gamma < 1$  и  $0 < \eta < 1$ . Это соответствует заданию начальных условий для гравитационного потенциала и двух параметров, определяющих распределения вещества и градиента давления вблизи рассматриваемой точки. Таким образом, при интегрировании мы находим сразу целое семейство самоподобных решений<sup>8)</sup>, характеризующихся только этими тремя параметрами, в которых и заключается зависимость от других слоев вещества под и над рассматриваемым радиусом  $R$ .

Авторы выражают благодарность Н. С. Кардашеву, В. Л. Гинзбургу, Б. В. Комбергу, В. Н. Лукашу, Ю. М. Бруку, всем участникам семинаров Отделения теоретической физики и Астрокосмического центра ФИАН за плодотворное обсуждение работы и высказанные важные замечания.

С глубокой признательностью обращаются авторы к памяти Д. А. Киржница, в обсуждении с которым были сформулированы идея и начальные подходы данной работы.

Работа поддержана Российским фондом фундаментальных исследований (грант 96-15-96616).

### Литература

1. Л. Д. Ландау, Е. М. Лифшиц, *Теория поля*, Наука, Москва (1988).
2. М. А. Подурец, *ДАН СССР* **154**, 300 (1964).
3. M. W. Choptuik, *Phys. Rev. D* **44**, 3124 (1991); E-prints archive gr-qc/9607034.
4. P. S. Wesson, *J. Math. Phys.* **19**, 2283 (1978).
5. Р. Пенроуз, *Структура пространства-времени*, Бибфизмат, Могилев (1972).
6. И. Д. Новиков, В. П. Фролов, *Физика черных дыр*, Наука, Москва (1986).
7. Ч. Мизнер, К. Торн, Дж. Уилер, *Гравитация*, Мир, Москва (1977).

<sup>8)</sup> См., например, по этому вопросу работу [3].